

Collaboration LPSC, LAL **A. Gorecki**, A. Abate, R. Ansari, A. Barrau, S. Baumont, A. Choyer, M. Moniez, JS Ricol

Plan

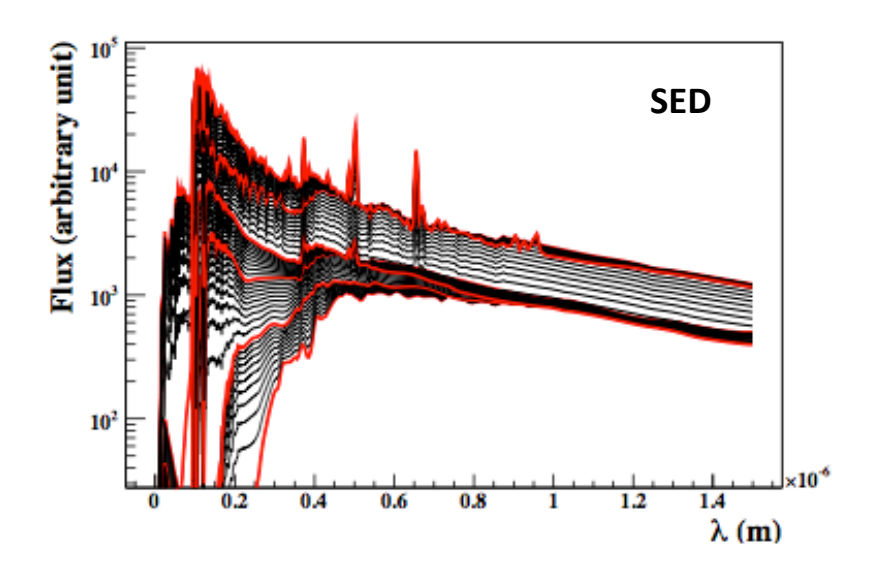
- Catalogue de galaxies
- Magnitude apparente
- Reconstruction Redshift Photométrique
- Rejection des catastrophiques
- Résultats

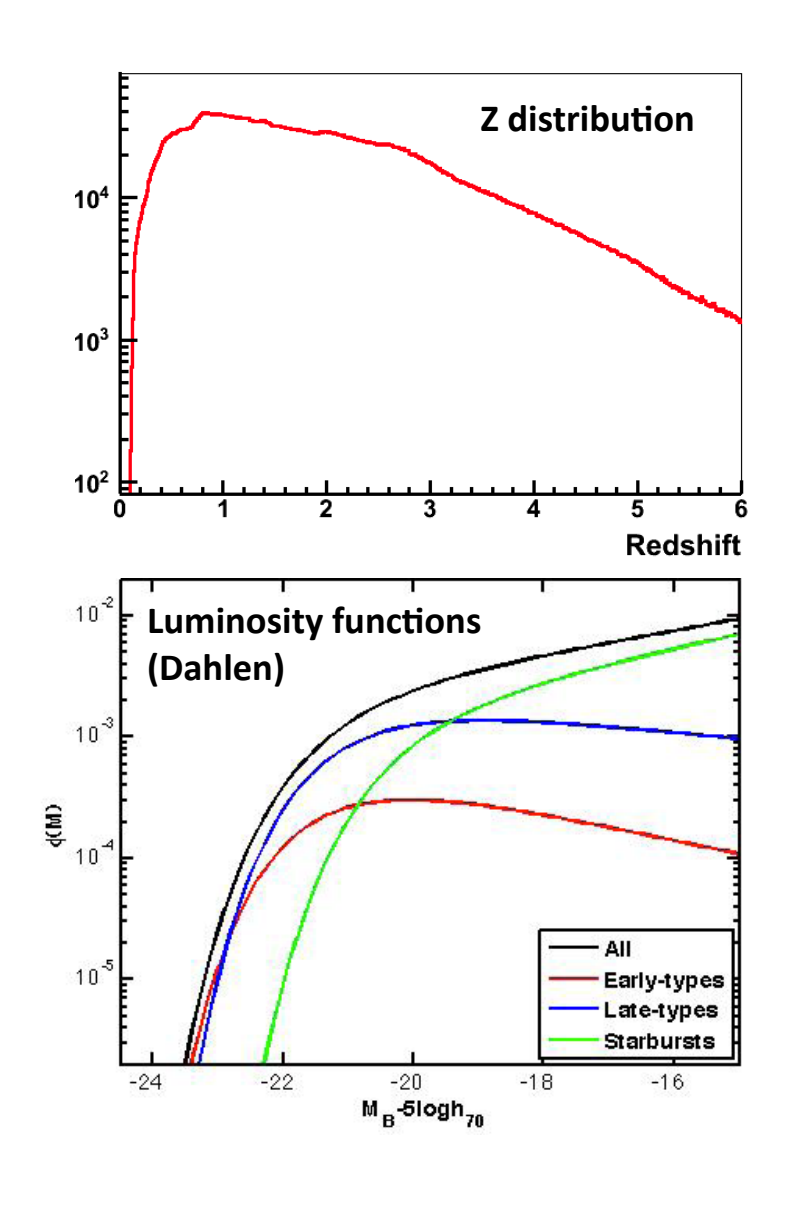
Catalogue de galaxies

Cosmologie standard -> distribution galaxies -> ra, dec, z

Fonctions luminosité -> M

SED: 51 Templates interpolés depuis El, Sbc, Sbd, Irr (Coleman et al), SB1, SB2 (Kinney et al)





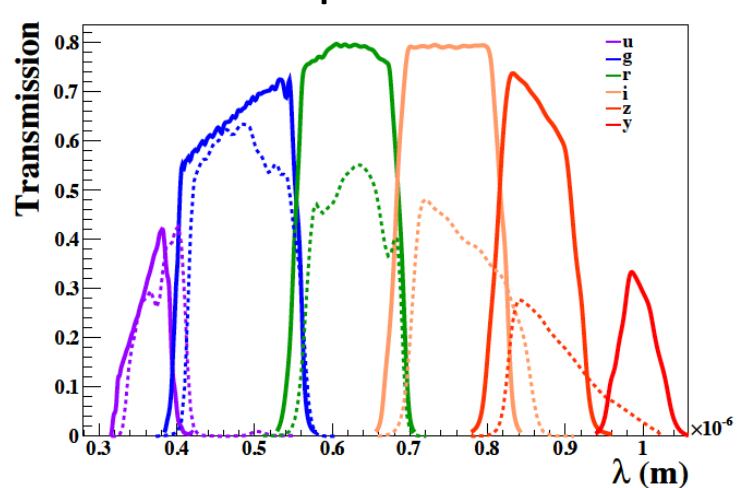
- Fichiers Fits produits par A. Abate: 8 milliards de galaxies
- Fits2Root: 5000 fichiers root de 10,000 galaxies chacun

Magnitude Apparente

Table Kcorrection K_{RX}

bining : Δ ebv = 0.01, Δ z=0.01, Δ Type=1 Table -> interpole K_{BX} -> calcul rapide de m_X m_X = M + D_M (z) + K_{BX}

Transmission spectra

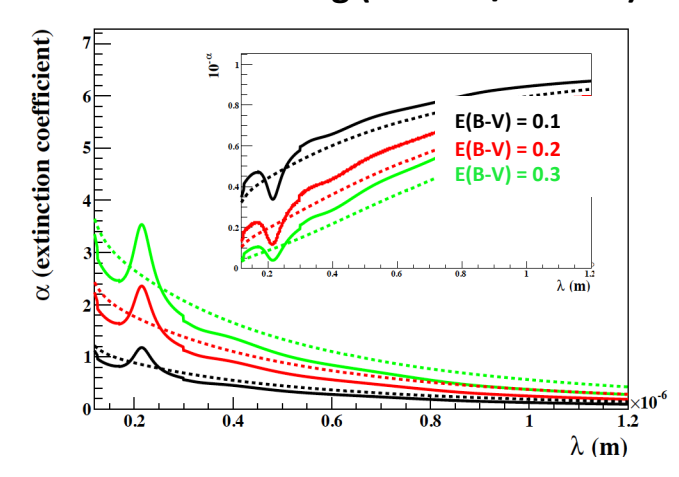


• Magnitude apparente + erreurs

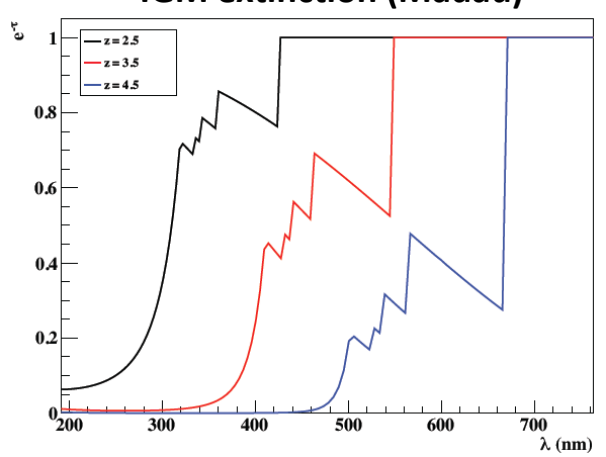
LSST:
$$\sigma_X^2 = (0.04 - \gamma_X)x + \gamma_X x^2 + \sigma_{syst}^2$$

 $x = 10^{0.4(m_X - m_{5,X})}$
 $\sigma_{syst} = 0.005$

Dust reddening (Cardelli/Calzetti)



IGM extinction (Madau)



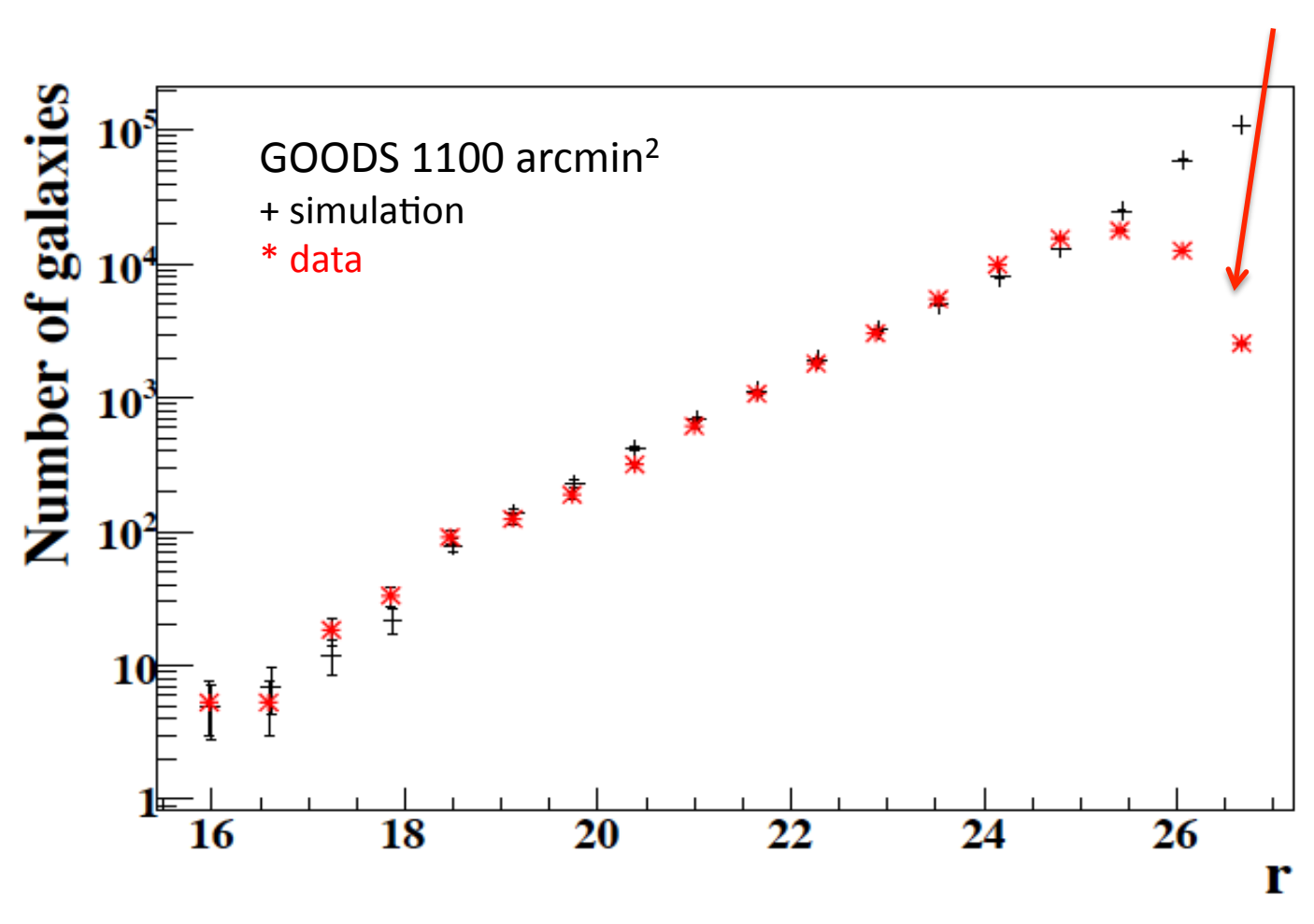
LSST 10 ans d'observation

	u	\boldsymbol{g}	r	i	z	y	
Visites:	56	80	184	184	160	160	
m _{5,X} :	26.1	27.4	27.5	26.8	26.1	24.9	

Flux gaussien

Comparaison avec les données GOODS





Reconstruction PhotoZ

Reconstruire Z, M, Type, E(B-V) à partir de $\mathbf{m} = \{m_X\}$ Template fitting method : minimisation de Chi2

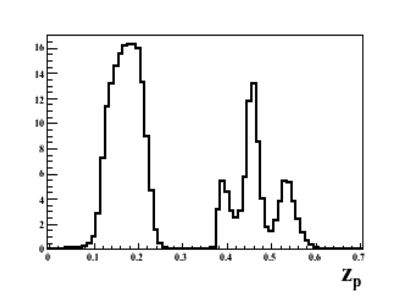
$$\chi^{2}(z,T,E(B-V),N) = \sum_{i=1}^{N_{bandes}} \left(\frac{F_{i}^{obs}(m_{i}) - NF_{i}^{mod}(z,T,E(B-V))}{\sigma\left(F_{i}^{obs}(m_{i},\sigma(m_{i}))\right)} \right)^{2}$$

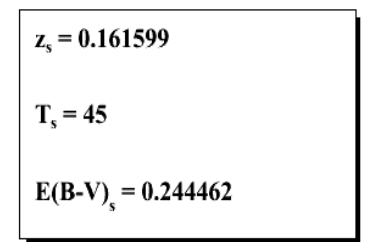
Prior Benitez:

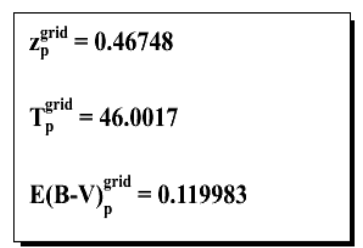
$$P(z,T|i) = P(z|T,i) \times P(T|i)$$

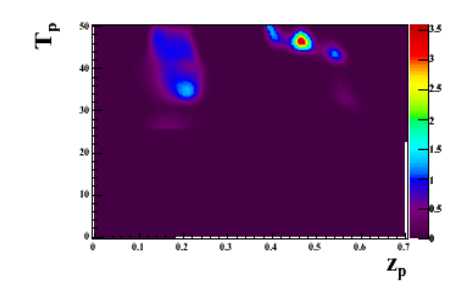
T = early, late, SB

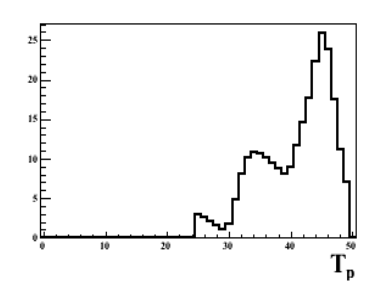
Densités de probabilité a posteriori

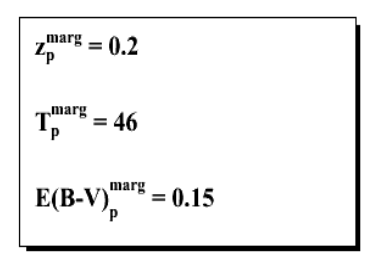


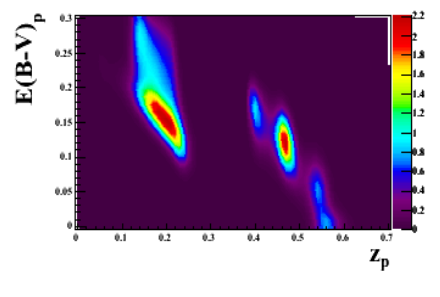


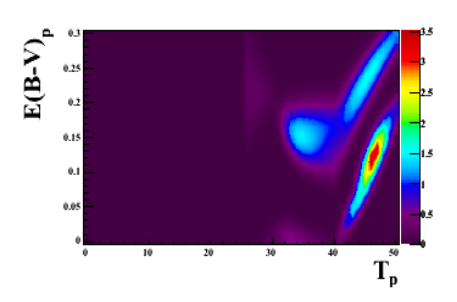


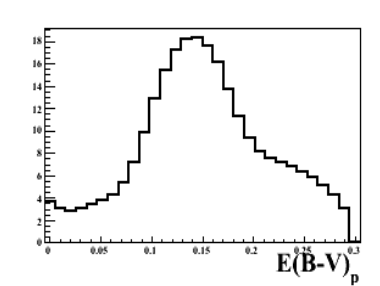












Rejection des catastrophiques (outliers)

Test statistique estimant la probabilité L_R pour une galaxie d'être bien reconstruite

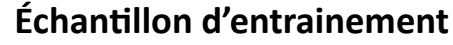
16 variables μ (PDF + termes couleur)

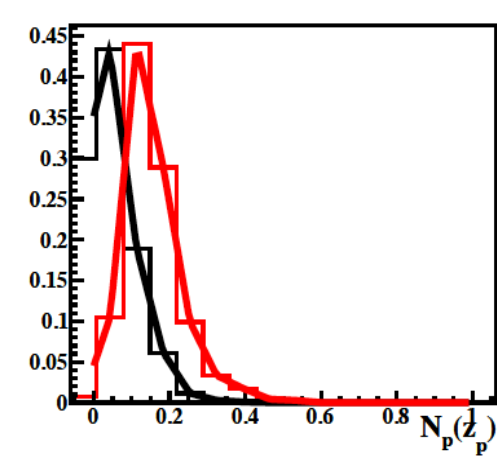
O: |zp-zs|/(1+zs) > 0.15

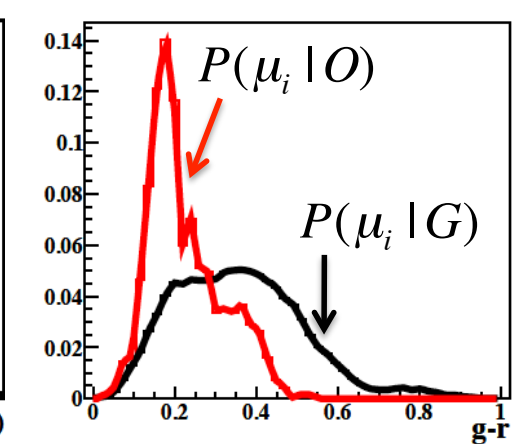
G: |zp-zs|/(1+zs) < 0.15

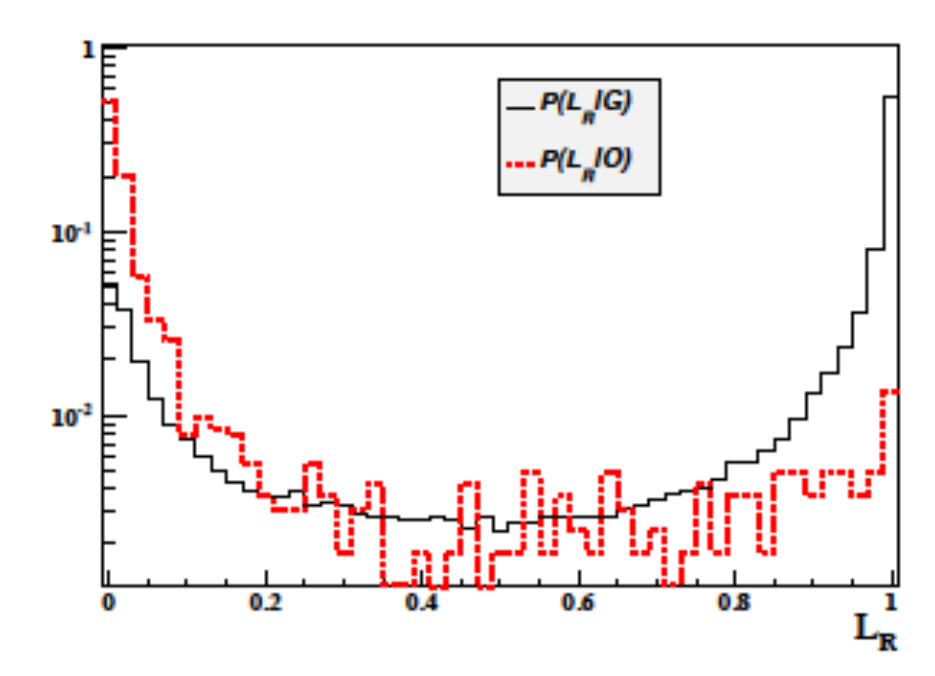
Likelihood ratio:

$$L_R(\mu) = \frac{P(\mu \mid G)}{P(\mu \mid G) + P(\mu \mid G)}$$





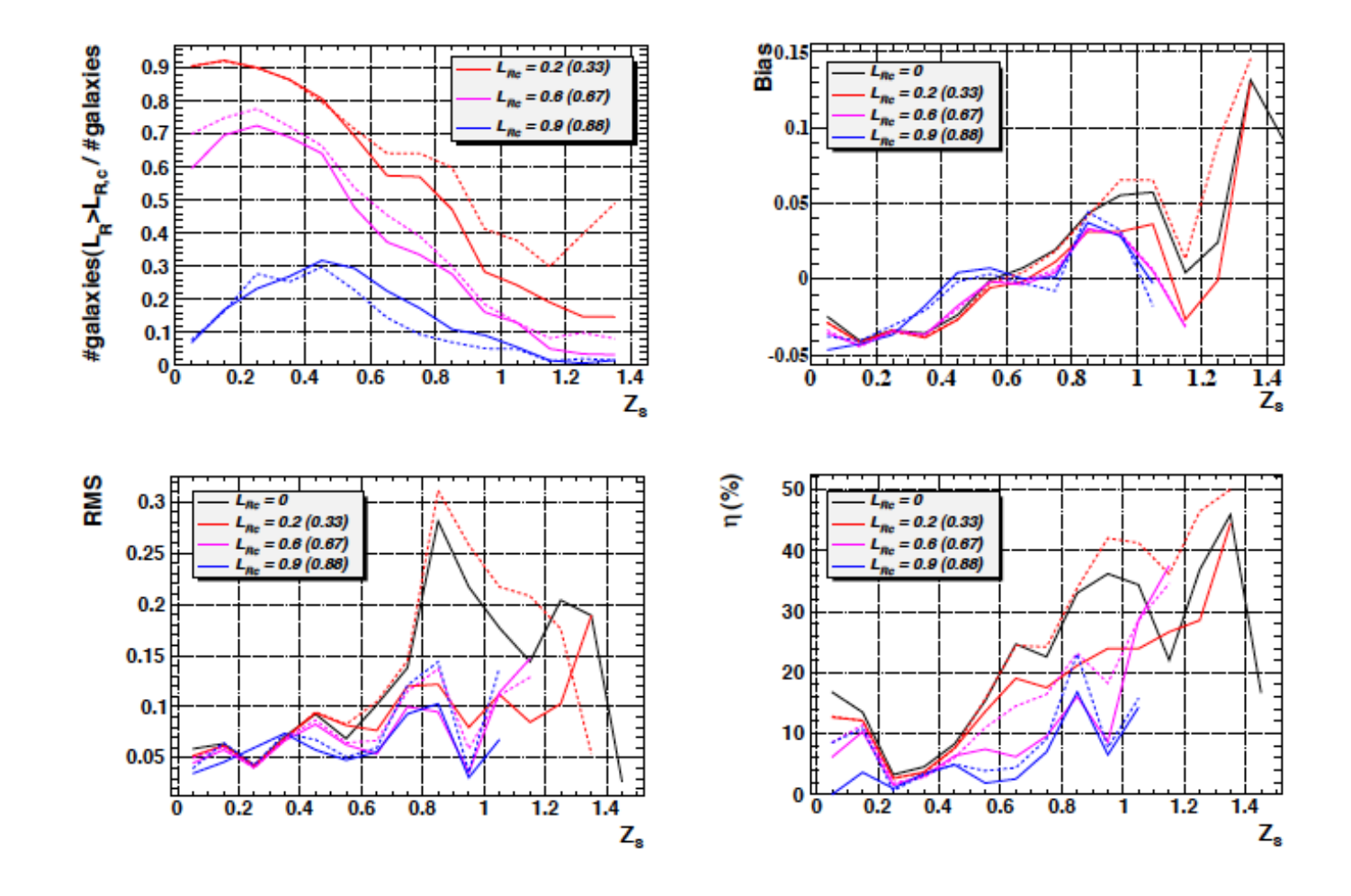




Résultats CFHTLS

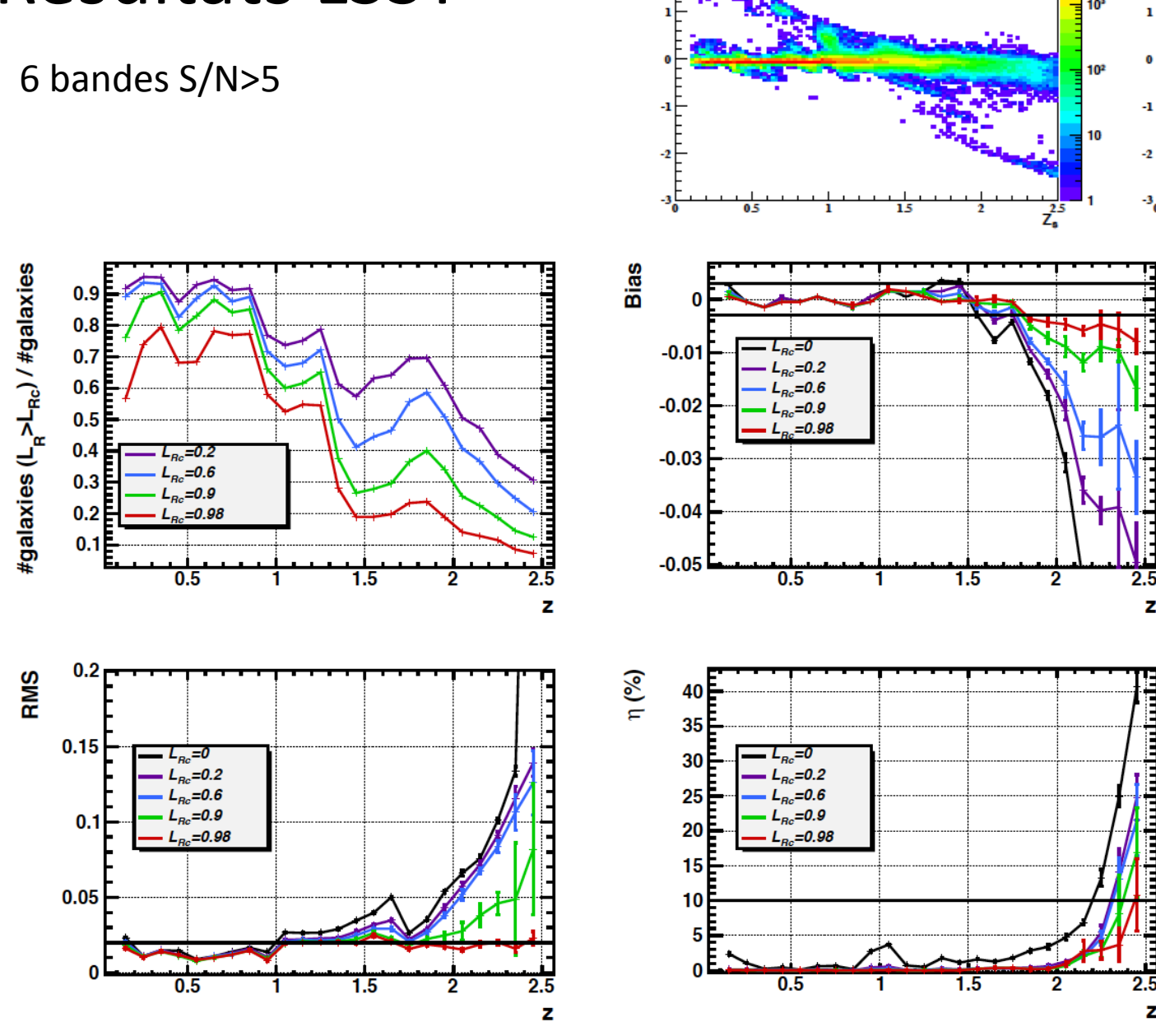
Plain: trained on data

Dashed: trained on simulation



- Sélection spectroscopique -> peu de catastrophiques -> coupure LR peu efficace, élimine beaucoup de bonnes galaxies
- Accord entres les deux entrainements (simu/data) montre que la simulation peut être utilisée pour calibrer le test statistique (LR)

Résultats LSST

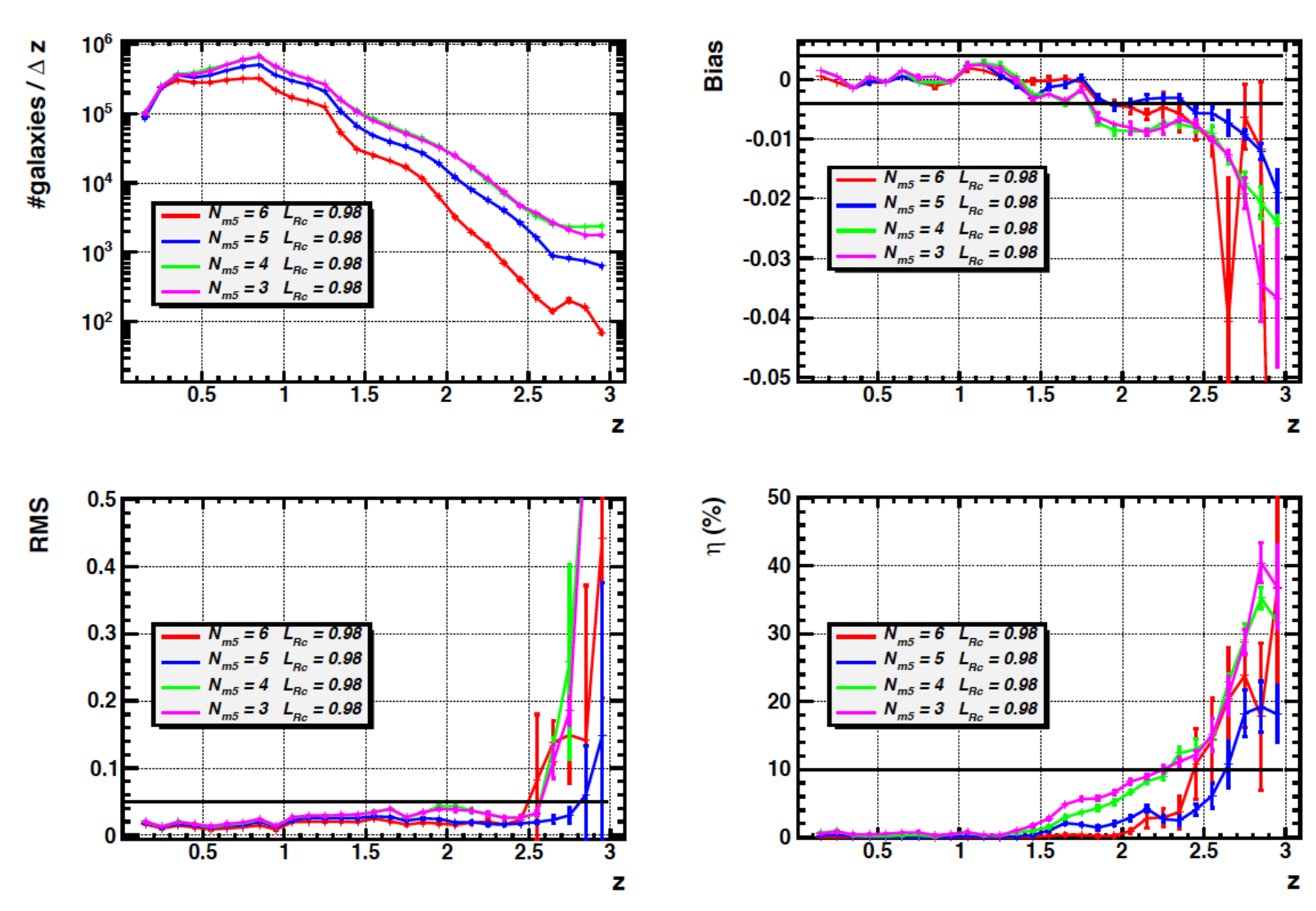


L_{Rc}=0.98

Spécifications LSST jusqu'à z ~ 2.5

Résultats LSST

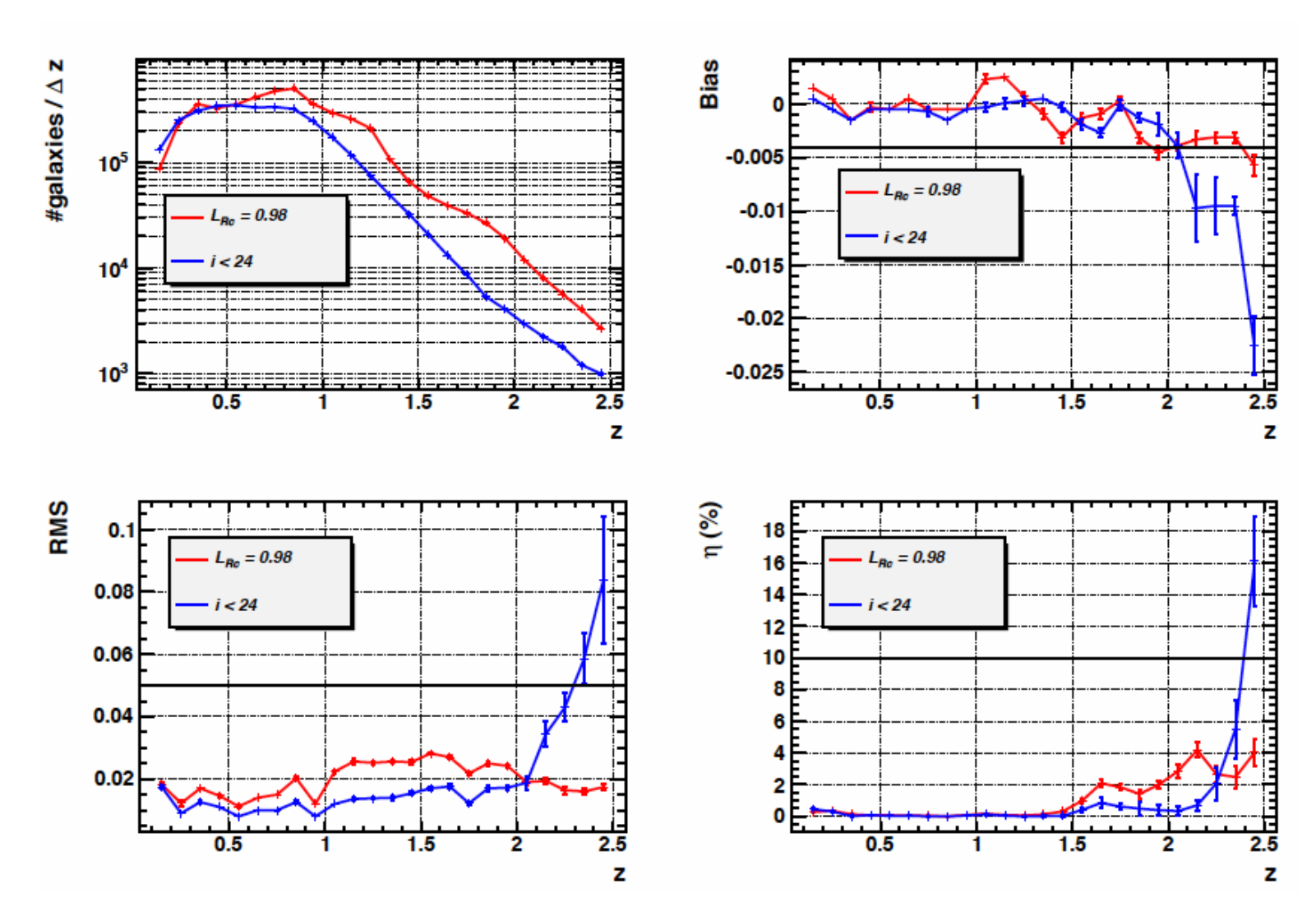
N_{m5} bandes S/N>5



Meilleurs résultats obtenus pour $N_{m5} = 5$

Résultats LSST

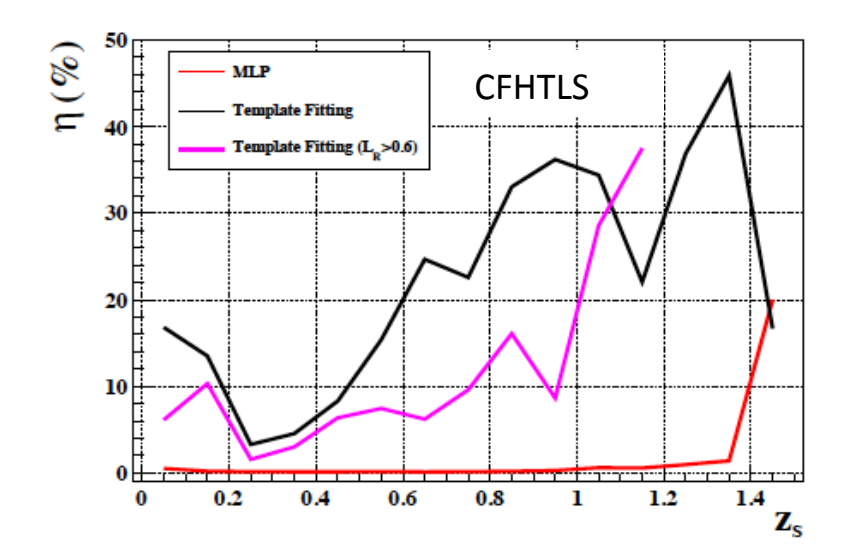
Comparaison LRcut vs icut



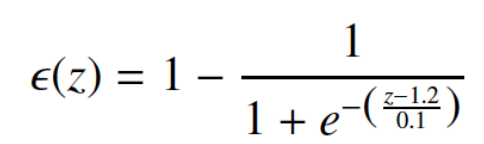
Meilleures performances pour LRcut

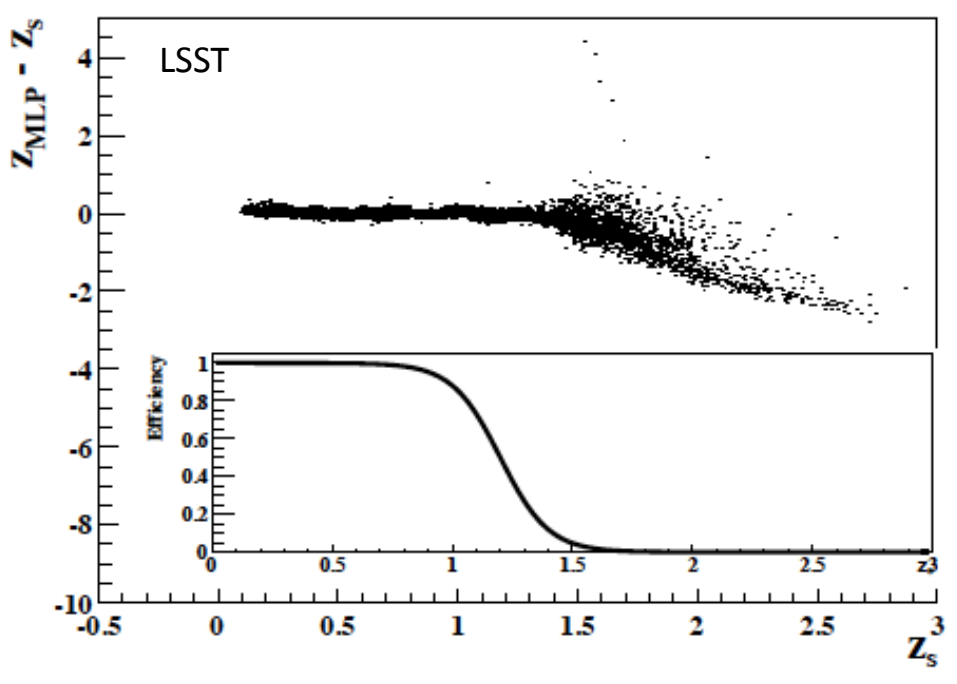
Réseau de neurones (MultiLayerPerceptron)

Elimine très bien les catastrophiques



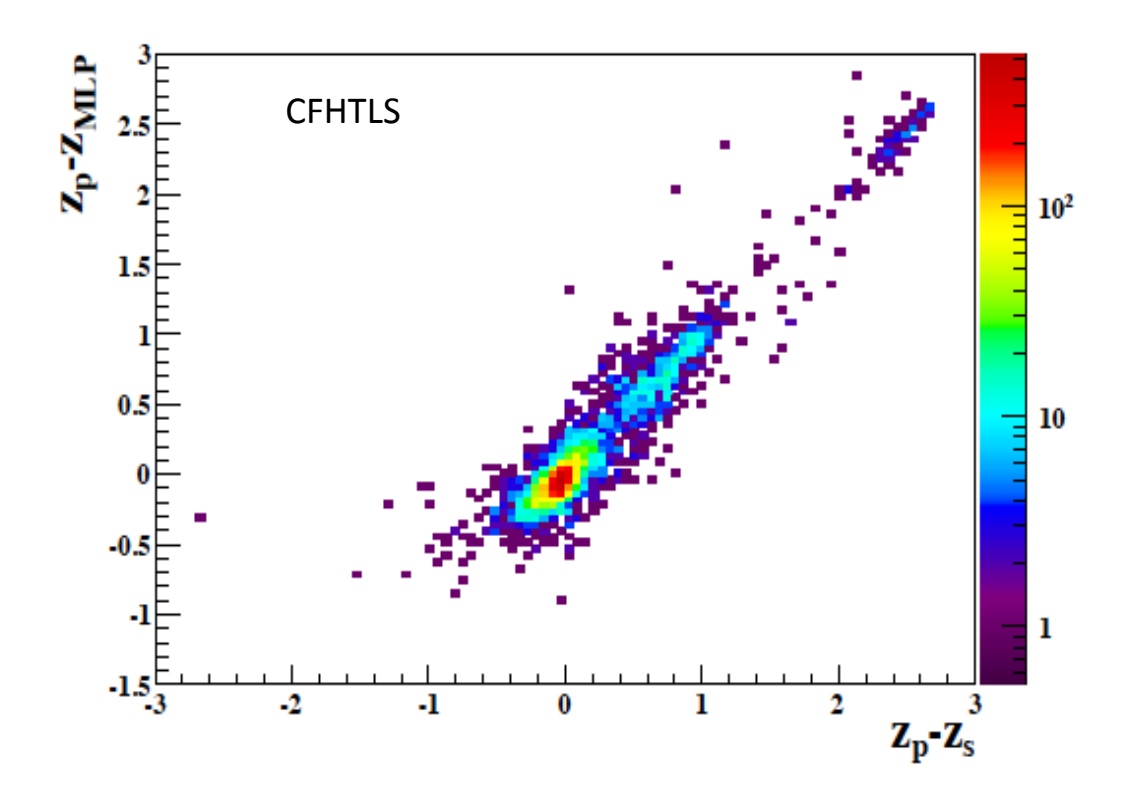
L'échantillon d'entrainement doit être complet (non biaisé) à 80% pour que le MLP fonctionne correctement





Analyse combinée

Correlation entre Z_p - Z_{MLP} et Z_p - Z_s utile pour rejeter les catastrophiques ou diagnostiquer un problème de templates



Résultat prometteur pour une future analyse croisée entre MLP (ou BDT) et Template Fitting + LRc

Conclusions

- Développement d'outils informatiques permettant de simuler un catalogue de galaxies (observé par LSST ou autre), de reconstruire le redshift photométrique et d'estimer les performances de la reconstruction
- Bon accord entre la simulation et les observations de GOODS et CFHTLS
- L'utilisation d'un test statistique permet de rejeter efficacement les galaxies catastrophiques et donne de meilleurs résultats qu'un simple cut en magnitude
- Le redshift photométrique est reconstruit dans les spécifications de LSST jusqu'à z~2.5
- L'étape suivante de cette reconstruction photo-Z est s'inclure dans une simulation complète des BAO afin d'estimer la précision de LSST sur la reconstruction des paramètres d'énergie noire (thèse A. Choyer)
- Premier papier scientifique de la collaboration : soumis à Astronomy&Astrophysics en Janvier 2013

arXiv:1301.3010v1